

討 9 高張力冷延鋼板のプレス成形性および形状凍結性

川崎製鉄 技術研究所

大橋延夫・高橋 功

橋口耕一・橋本 弘

千葉製鉄所

大西健男・古川幸夫

1. 緒言

自動車の重量軽減と乗員の安全性向上を指向して車体用薄鋼板の高強度化が進められている。一般に鋼板が高強度化するにつれて延性、プレス成形性は劣化するが、その程度は鋼板の化学組成や製造工程などによって異なる。そこでこれらの要因の異なる引張強さ30~70 kg/mm²の冷延鋼板を用いて、プレス成形性および形状凍結性を調べ、鋼板の材料特性との関係を検討した。

2. 供試材

供試材の化学成分および機械的性質を表1に示す。用いた試料は軟鋼板各種と箱焼純法(BA)および連続焼純法(CA)によって製造された引張強さ40~70 kg/mm²の高張力鋼板10種で、板厚はすべて0.8mmである。

高張力鋼板のうちBA材は固溶硬化型元素Si,Mnあるいは析出強化型元素Nb,Tiを添加し、それらの強化作用とともに結晶粒微細化による強化を行なっている。一方、CA材は

Crを添加し、Ac₁点以上の温度で短時間焼純を行ない、その後の冷却速度を適当に制御することにより共析混合組織としている。供試材のT.S.とY.S.の関係を図1に示す。製造方法によって降伏比、Y.R. (Y.S./T.S.)が異なり、BA材では65%以上そしてCA材では65%以下である。またCA材は時効硬化性が大きいための特徴をも有する。^{1),2)}なお供試材はすべて表面接性を考慮してC量を0.1%以下とした。

3. 実験方法

JIS Z 2249によるCCV試験、限界絞り試験(ポンチ径3mm中、しづ押え力1t)、液圧バルジ試験(ブランク200mm口、ダイス径150mm中)、穴抜け試験(ブランク100mm口、打ち抜きまたはリーマ仕上げ穴14mm中、50mm中平頭ポンチ、しづ押え力9t)、およびコニカルカットバッククリング試験(CCBT)³⁾を行なった。

さらに成形時の形状凍結性を調べるために、ハット型成形(ブランク80×120mm²、40mm中角筒ポンチ、しづ押え力0~3t、成形高さ30mm)および浅絞りプレス成形(ブランク500mm口、300mm中角筒ポンチ、ポンチ底面曲率半径R₀=634,1043,1790mm、しづ押え力25t、成形高さ55mm)を行なった。なお潤滑油は穴抜け試験のく日本工作油#120で、化はすべて#620を使用した。浅絞り成形後耐テンタビリティを調べるために、そのままあるいは自動車の塗装ラインでの熱履歴に相当する170°C、20minの時効後、プレス品中央に先端が75mmの曲率半径を有する30mm中円筒ポンチで荷重Pを加え、その時の全歪量δと荷重除荷後の残留塑性歪量δ_rをダイアルゲージで測定した。

表1. 供試材の化学成分と機械的性質

Material	Symbol	Chemical Compositions(wt%)						Mechanical properties				
		C	Si	Mn	Nb	Ti	Cr	Y.S. (kg/mm ²)	T.S. (kg/mm ²)	EI (%)	ε	n
Mild steel	R30	0.032	0.002	0.28	nd	nd	nd	21.6	32.8	46	1.07	0.236
	K30	0.033	0.012	0.30	nd	nd	nd	18.0	30.3	44	1.55	0.232
HITEN (BA)*	B40	0.10	0.38	0.76	nd	nd	nd	31.1	44.2	34	0.99	0.211
	B'40	0.088	0.036	0.81	0.045	nd	nd	34.7	43.8	34	0.82	0.181
	B45	0.090	0.41	1.20	nd	nd	nd	35.8	47.8	31	1.11	0.167
	B50	0.069	0.83	1.49	0.034	nd	nd	35.8	52.5	32	1.02	0.201
	B55	0.079	0.79	1.53	0.040	nd	nd	43.8	56.5	29	0.91	0.181
	B60	0.081	0.86	1.55	nd	0.041	nd	48.5	61.8	29	0.92	0.190
HITEN (CA)*	C45	0.051	0.030	1.22	nd	nd	0.52	22.7	49.7	35	0.81	0.241
	C50	0.045	0.50	1.22	nd	nd	0.47	25.3	53.0	33	0.80	0.246
	C60	0.071	0.035	1.26	nd	nd	0.49	39.5	62.9	29	0.89	0.178
	C70	0.062	0.52	1.26	nd	nd	0.50	43.8	69.6	26	0.86	0.170

* BA : Bell annealing

* CA : Continuous annealing

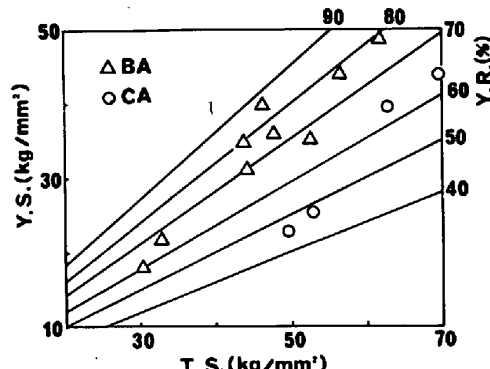


図1. 供試材の降伏比

4. 実験結果と検討

4.1 成形性

C.C.T., L.D.R., バルジ高さ, 全伸びと引張強さの関係を図6に示す。一般に引張強さの増加とともに成形性は低下するがその割合は鋼種により異なる。同一強度で比較すると伸びとバルジ高さはCA材がBA材より大きい。一方、C.C.T.は鋼種間の差は小さく引張強さの増加とともに劣化する。またしわ押え力一定の条件下求めたL.D.R.と引張強さとの関係は明確でない。

プレス成形におけるしわ発生傾向の評価法として阿部ら³⁾により提案されたC.C.B.T.法とは、C.C.T.試験で定められた条件よりしわの発生しやすい条件すなわちより大きなプランク径($D_0 = 60 \sim 90\text{mm}$)でコニカルダイ JIS II型を用い、しわの発生する時まで続く、そのときのプランク外径 D_B から $\eta_B = D_B/D_0$ を求める。一方、C.C.T.試験での破断時のプランク外径 D_F から $\eta_F = D_F/D_0$ を求め、しわと割れの両者を考慮した成形性指標FI値(Formability Index)を次式で定義する。

$$FI = 1/\eta_B \cdot \eta_F$$

このFI値が円錐台成形あるいはフェンダー成形におけるしわも割れもないしわ押え力範囲(ΔBHf)と強い相間をもつことが示されている。図3に $D_0 = 75\text{mm}$ で求めたFI値と引張強さの関係を示す。C50を除けばCA材は同一強度でBA材より高いFI値を有する。

4.2 伸びフランジ性

リーマー仕上げと打ち抜き穴の場合の穴拡がり率, $\lambda [100(d - d_0)/d_0]$ と引張強さの関係を図4に示す。いずれの場合もT.S.の増加とともに伸びフランジ性は劣化する。一般に伸びフランジ性は材料の非金属介在物やカーバイドなどのいわゆるmechanical fiberや集合組織に支配される。集合組織は材料の組成や製造方法に大きく左右され、 λ 値の面内異方性をもたらす。その一例として図5に λ 値の面内分布と穴抜け試片の破断位置をあわせて示す。どの試片群も冷延方向に対

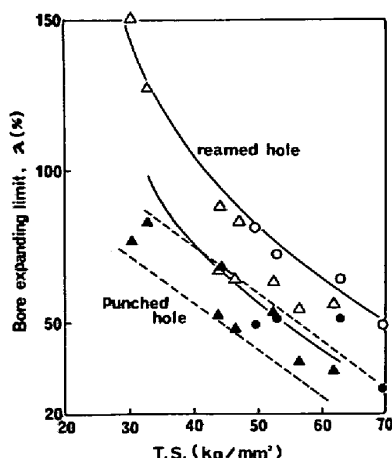


図4. 穴拡がり率と引張強さの関係

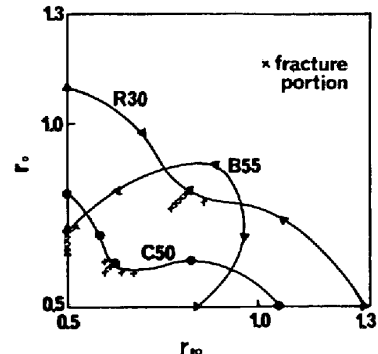
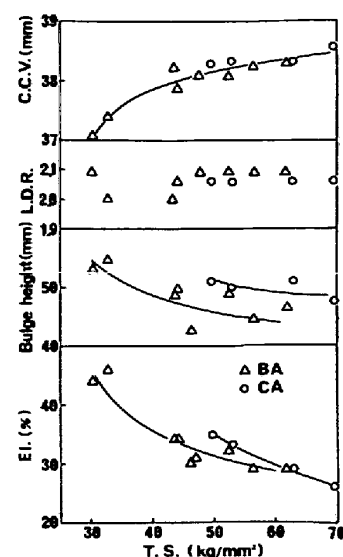
図5. λ 値の面内異方性と穴抜け試験における破断位置

図6. C.C.T., L.D.R., バルジ高さ, 全伸びと引張強さの関係

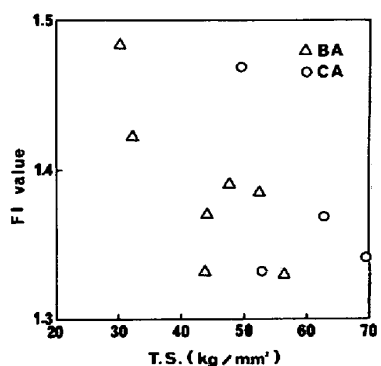
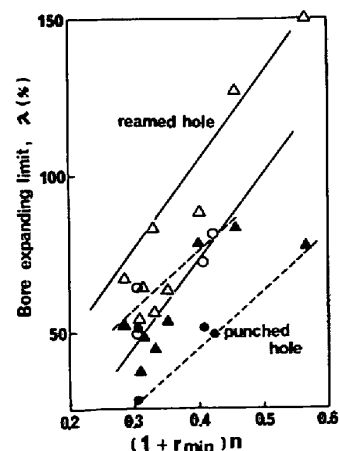


図7. FI値と引張強さの関係

図8. 穴拡がり率におよぼす λ 値, r 値の影響

して特定角度の位置で破断し、しかもその位置は「min」位置に対応しているので、mechanical fiber の影響は小さいといえる。T 値の面内異方性のある鋼板の場合、破断位置は「min」位置に対応し、その穴孔が 1 半は $(1 + r_{min})\pi$ によって表わされることが軟鋼板について計算⁴⁾されておりが、図 6 に示すように高張力鋼板についてもこの関係が適用できることがわかる。

4.3 形状凍結性

ハット型断面に成形後、開き、 a を測定し、 $\theta = \tan^{-1}(a/30)$ で入アーリングバック量 θ を評価した。(図 7) 軟鋼板の場合、成形時のしわ押え力を高めると高さ 30mm まで成形できず、途中で wall break を起こす。しかし一般にしわ押え力の増加とともに θ は減少し、同一しわ押え力の場合は鋼板の引張強さの増加とともに θ が増加する。

浅絞りプレス成形におけるスプリングバックを図 8 に示す。スプリングバック、 $\Delta\rho/\rho$ を $((1/\rho_0) - (1/\rho)) / (1/\rho_0)$ で定義する。ここで ρ_0 はポンチ底面の曲率半径、 ρ はプレス品の曲率半径である。BA 材のスプリングバック、 $\Delta\rho/\rho$ は引張強さに比例して増加するが、CA 材のそれは同一強度で比較して BA 材より著しく小さい。またポンチの曲率半径 ρ_0 が小さくなるにつれて $\Delta\rho/\rho$ は減少する。このスプリングバックを降伏応力との関係で整理すると図 9 が得られ、降伏応力の増加とともに $\Delta\rho/\rho$ が増大することがわかる。したがって浅絞り成形のような比較的歪の小さい領域の成形におけるスプリングバックは降伏応力に支配され、ハット型成形のように歪の大きい領域では引張強さに支配される傾向がある。

このことをより明らかにするため CA 材およびそれを 400°C で 80 min 時効した材料(降伏応力が約 15 kg/mm² 増加し、引張強さは約 5 kg/mm² 低下する)でハット型成形し、スプリングバック、 θ を求め、しわ押え力との関係を示したのが図 10 である。しわ押え力の小さい領域では降伏応力の高い時効した材料の θ が大きいが、しわ押え力が大きくなると降伏応力が低く引張強さの高い非時効材の θ が大きくなる。すなわちスプリングバックは成形歪領域によって材料特性との関係が異なることを示している。

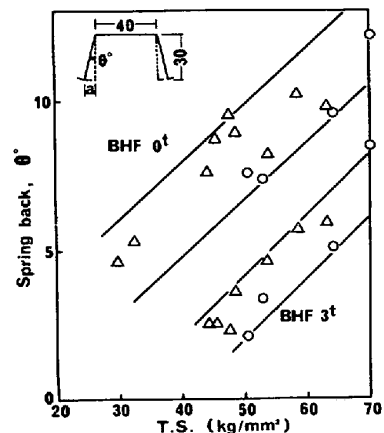


図 7. ハット型成形時のスプリングバックと引張強さの関係

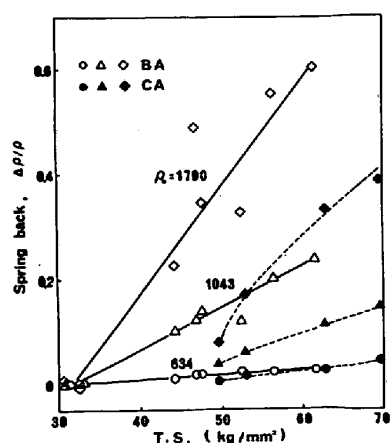


図 8. 浅絞りプレス成形におけるスプリングバックにおよぼすポンチ曲率半径の影響

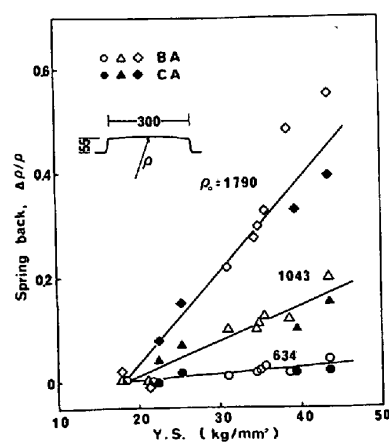


図 9. 浅絞りプレス成形におけるスプリングバックと降伏応力の関係

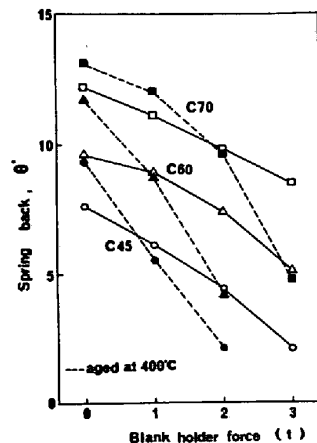


図 10. ハット型成形におけるスプリングバックにおよぼすしわ押え力の影響

浅絞りプレス品では一般に ρ_0 が大きい場合、降伏応力によってスプリングバックが異なり、プレス後の形状に差をきたしそのため弾性領域内の変形が問題となる張り剛性は、降伏応力の低い材料ほど高くなるといわれている。^{5), 6)} 一方、 ρ_0 が小さい場合図9に示すようにスプリングバックは小さく、降伏後の影響も少ない。この場合について塑性域まで含めた剛性（耐デンタビリティ）を調べた。プレス品の中央に荷重を加えて全歪量 $\delta t = 5 \text{ mm}$ まで変形させ除荷したときの残留歪 δ_p で耐デンタビリティを評価する。その結果を図11に示すが、降伏応力が高いほど残留歪が小さく耐デンタビリティが良好であり門部らの報告⁵⁾と一致する。またその傾向は ρ_0 が小さいほど顕著である。しかし ρ_0 が大きい場合、製品曲率半径 ρ が異なるため厳密には ρ 一度のもとで耐デンタビリティを検討する必要がある。

またCA材の残留歪はBA材に比べて小さい。図中の矢印はプレス後 170°C で 20 min 時効したときの残留歪の変化を表わす。いずれの鋼板も時効により残留歪は減少するが、その減少量は鋼板によって異なる。すなわち軟鋼板ではR30（リムド鋼）がK30（キルド鋼）より大きく、高張力鋼板ではCA材がBA材より大きい。つまり時効硬化しやすい鋼板ほど、時効されると耐デンタビリティが向上することを示唆している。

5. 結論

製造方法の異なる引張強さ $30 \sim 70 \text{ kg/mm}^2$ の冷延鋼板を用いてプレス成形性および形状凍結性を調べた結果、つぎのことことが明らかになった。

(1) 一般に強度上昇に伴ない成形性は低下するがその低下の割合は鋼種によって異なる。連続焼純法で製造されたる相混合組織の高張力鋼板は箱焼純材に比べ張り出し性と伸びが優れ、かつしつれ割れの両者を考慮した成形性評価指標F工値も高く、一般に成形性が優れていたりえる。

(2) 高張力冷延鋼板の伸びフランジ性は軟鋼板の場合と同様に集合組織に支配される mechanical fiber の影響は小さい。すなわち穴抜け試験での破断は $r \text{ min}$ 方向に発生し穴抜け半径 $(1+r \text{ min})n$ に比例する。

(3) プレス成形時のスプリングバック量は成形歪量によって材料特性との関係が異なり、成形歪の小さいプレス成形の場合には降伏比の低い高張力冷延鋼板すなわち連続焼純によるるる相組織材が有利である。

(4) 耐デンタビリティはプレス製品の曲率半径が大きいほど、また鋼板の降伏応力が大きいほど大きくなり、また時効硬化によって耐デンタビリティが向上する。

参考文献

- 1) 橋口, 高橋, 大橋: 鋼と鋼, 60(1974), S488
- 2) 橋口, 高橋, 大橋: 鋼と鋼, 61(1975), S773
- 3) 門部, 中川: 昭和50年度塑性加工学会春季講演会論文集, (1975), 121
- 4) 行藤, 橋口: 川崎製鉄技術報, 3(1971), 389
- 5) 門部, 中川: 川崎製鉄技術報, 5(1973), 810
- 6) 高橋, 中島: 塑性と加工, 6(1965), 674

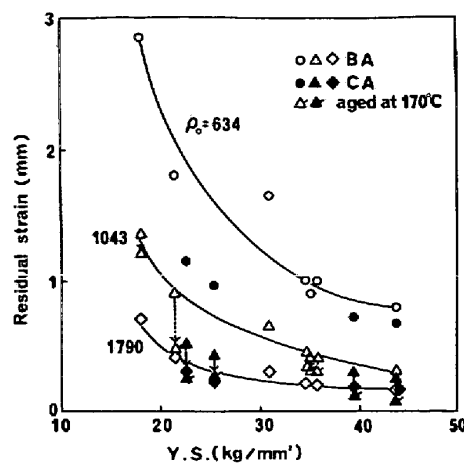


図11. プレス品の局部圧縮後の残留歪におけるポンチ曲率半径と材料の降伏応力の影響